

بهینه‌سازی شاخص‌های عملکردی سوخت دیسترویل در موتور دیزل به روش سطح پاسخ

گل محمد خوب بخت^{*۱}

تاریخ دریافت: ۱۳۹۵/۱۱/۱۷

تاریخ پذیرش: ۱۳۹۶/۰۳/۱۶

چکیده

دیسترویل اصطلاح جدیدی است که بیانگر ترکیب سوخت‌های دیزل فسیلی، بیودیزل و بیواتانول مشتق شده از گیاهان می‌باشد. در این تحقیق به بررسی تأثیر بار و سرعت موتور و همچنین درصدهای مختلف اختلاط سوخت‌های دیزل، بیودیزل و اتانول بر روی مشخصه‌های توان و گشتاور موتور دیزل OM 314 پرداخته شد. طراحی آزمایش‌ها با استفاده از روش آماری سطح پاسخ پایه‌ریزی شد و نقاط بهینه متغیرهای مستقل به‌منظور کمینه و یا بیشینه کردن سطوح پاسخ، به‌دست آمد. مدل‌های درجه دوم به‌دست آمده با استفاده از روش سطح پاسخ به‌منظور پیش‌بینی تأثیر متغیرهای ورودی بر روی سطوح پاسخ از لحاظ آماری (در سطح یک درصد) معنی‌دار بودند. نتایج نشان داد که درصدهای پایین بیودیزل و اتانول تقریباً توان و گشتاور برابر با سوخت دیزل دارند ولی با افزایش غلظت این دو نوع سوخت در سوخت اختلاط یافته، میزان توان و گشتاور موتور کاهش می‌یابد. بیشترین میزان توان ترمزی (۷۹ کیلووات) در بار کامل (۱۰۰ درصد) و سرعت ۲۸۰۰ دور بر دقیقه و برای سوخت دیزل خالص ($D_{100}B_0E_0$) اتفاق افتاد. همچنین بیشترین میزان گشتاور برای سوخت دیزل خالص ($D_{100}B_0E_0$) و در سرعت ۱۶۳۰ دور بر دقیقه در بار کامل (۱۰۰ درصد) و به میزان ۳۲۵ نیوتن متر به‌دست آمد.

واژه‌های کلیدی: اتانول، بیودیزل، توان، سطح پاسخ، گشتاور

مقدمه

مطالعاتی انجام دادند. آنها به این نتیجه رسیدند که توان خروجی موتورهای تراکمی از این سوخت‌ها همانند سوخت‌های دیزلی می‌باشد. اما با مشکل شدید پایداری دراز مدت که منجر به تقطیر تخریبی می‌شد مواجه شدند. مقایسه بین بیودیزل حاصل از روغن آفتاب‌گردان و سوخت‌های دیزلی در حالت‌های تمام بار، بار کم و سرعت‌های مختلف موتور، در یک موتور ۲/۵ کیلووات توسط Kapilan و همکاران (۲۰۰۹) انجام گرفت. آنها به این نتیجه رسیدند که استفاده از بیودیزل در موتور دیزل، کاهش ناچیزی از توان ترمزی و افزایش ناچیز مصرف سوخت را به دنبال دارد. Usta در سال ۲۰۰۵ از روغن دانه توتون به‌عنوان سوخت دیزل استفاده کرد و یک افزایش در گشتاور و توان ملاحظه کرد (با پایین‌ترین ارزش گرمای $39/8MJ\ kg^{-1}$). نویسنده چندین مخلوط آزمایشی با سوخت دیزل را در یک موتور دیزلی ۱۵۰۰ rpm و ۳۰۰۰ rpm مورد آزمایش قرار داد، بیشترین مقدار گشتاور و توان در یک مخلوط ۱۷/۵٪ ثبت شد، علی‌رغم اینکه ارزش گرمایی بیودیزل کاهش پیدا کرد. Kapilan و همکاران (۲۰۰۶) از کاهش ۵ تا ۱۰٪ گشتاور و توان به‌ویژه در حالت تمام بار خبر دادند. کاهش توان نزدیک به ۵٪ در سرعت پایین و ۱۰٪ در سرعت بالا بود.

اخیراً بیشتر توجهات به توسعه سوخت‌های جایگزین معطوف شده است که علاوه بر کمک به اصلاح کیفیت هوا، باعث کاهش وابستگی به سوخت‌های فسیلی که از منابع تجدیدناپذیر انرژی و به‌طور فزاینده‌ای گران می‌باشند، خواهد شد. الکل‌ها و به‌ویژه بیواتانول و استرها همانند بیودیزل، به‌عنوان سوخت‌های جایگزین انتخاب شده‌اند. نه تنها به‌خاطر اینکه از منابع تجدیدپذیر استخراج می‌شوند بلکه آنها دارای مقدار زیادی اکسیژن می‌باشند. بنابراین پتانسیل بسیار بالایی به‌منظور کاهش نشر ذرات ریز دارند. بیواتانول یک الکل می‌باشد که به‌علت سهولت تولیدش، هزینه پایین، سمیت پایین و همچنین به‌علت اینکه از منابع تجدیدپذیر به‌دست می‌آید، اغلب به‌عنوان یک سوخت جایگزین مناسب انتخاب می‌شود (Pang et al., 2008; Lapuerta et al., 2007; Shi et al., 2005; Pereira et al., 1999). Bettis و همکاران (۱۹۸۲) در مورد استفاده از روغن‌های آفتاب‌گردان، گل‌رنگ و کلزا به‌عنوان سوخت مایع

۱- استادیار، گروه مهندسی کشاورزی، دانشگاه پیام نور، تهران، ایران

(Email: gol.m1360@yahoo.com)

*- نویسنده مسئول

DOI: 10.22067/jam.v8i2.62389

Zenouzi و همکاران (۲۰۰۸) تغییر عملکرد موتور شش سیلندر

موتور را نمایش می‌دهد. این مجموعه شامل موتور دیزل OM 314، دینامومتر، دستگاه‌های آلاینده‌سنج، پانل کنترلی دینامومتر، صفحه نمایشگر متصل به پانل کنترلی دینامومتر و سامانه سوخت‌رسانی می‌باشد.

موتور تحت آزمایش

موتور تحت آزمایش در این تحقیق، موتور چهار سیلندر دیزلی پاشش مستقیم مدل OM 314 از تولیدات شرکت ایدم تبریز می‌باشد که تحت لیسانس شرکت دایلمر آلمان ساخته شده است. شکل ۲ نمایی از موتور مورد نظر را نشان می‌دهد. در این تحقیق برای اندازه‌گیری توان و گشتاور ترمزی موتور تحت بار و سرعت‌های مختلف موتور از دینامومتر استفاده شد. در این تحقیق از دینامومتر جریان گردابی (فرومغناطیسی) مدل E400 که در بین دینامومترهای مختلف دارای دقت بالایی می‌باشد، استفاده شد. در شکل ۳ دینامومتر مورد استفاده شده نشان داده شده است.

توان موتور

توان به‌عنوان آهنگ انجام کار تعریف می‌شود. به‌عبارت دیگر، مقدار کاری است که در واحد زمان انجام می‌گیرد. مقدار توان موجود در چرخ لنگر موتور که توان ترمزی نیز نامیده می‌شود از رابطه (۱) محاسبه می‌شود. در این رابطه P توان موتور در چرخ لنگر بر حسب کیلو وات، T گشتاور موجود در چرخ لنگر بر حسب نیوتن متر و N دور موتور بر حسب دور در دقیقه (rpm) می‌باشد.

$$P = \frac{2\pi TN}{60000} \quad (1)$$

در این تحقیق سوخت بیودیزل مورد آزمایش از روغن کلزا تهیه شده بود و اتانول مورد نیاز نیز از شرکت بیدستان قزوین تهیه گردید.

طراحی آزمایش‌ها

در این تحقیق با توجه به اینکه آزمایش‌های مورد مطالعه هزینه‌بر و وقت‌گیر بوده و همچنین داده‌های آزمون نیاز به بهینه‌سازی داشتند از روش سطح پاسخ که یکی از روش‌های طراحی آزمایش می‌باشد، استفاده شد. در روش سطح پاسخ برای هر متغیر مستقل حداقل سه سطح نیاز است تا بتوان تأثیرات متغیرها را بر پاسخ مدل کرد. طرح مورد استفاده در این رساله به نام طرح مرکب مرکزی می‌باشد که بیشترین کاربرد در میان طرح‌های روش سطح پاسخ را به خود اختصاص داده است (Abdul-Halim et al., 2009).

پرکینز را در حالت تمام بار با استفاده از اختلاط سوخت بیودیزل حاصل از روغن پسماند و دیزل مورد بررسی قرار دادند. نتایج نشان داد که با اضافه کردن بیودیزل به سوخت دیزل، به دلیل احتراق کامل، میزان توان و گشتاور موتور افزایش می‌یابد و با افزایش ۲۵ درصد بیودیزل به سوخت دیزل، عملکرد موتور بدون هیچ‌گونه تغییر و اصلاحی در اجزای آن بهبود می‌یابد. Zhang و Hansen (۲۰۰۳) عملکرد موتور دیزل کامینز^۱ را با سوخت ۱۵ درصد ED مورد بررسی قرار دادند و به این نتیجه رسیدند که توان موتور در حدود ۷ الی ۱۰ درصد کاهش می‌یابد و بازده گرمایی حدود ۲ الی ۳ درصد در سرعت مجاز افزایش می‌یابد. Kass و همکاران (۲۰۰۱) گشتاور خروجی همان مدل موتور را با دو مخلوط ۱۰ و ۱۵ درصد اتانول مورد آزمایش قرار دادند و به این نتیجه رسیدند که توان موتور نزدیک به ۸ درصد برای هر دو نوع سوخت کاهش می‌یابد. رحیمی و همکاران در تحقیقی در سال ۲۰۰۹، به بررسی مشخصه‌های فیزیکی و شیمیایی سوخت‌های حاصل از اختلاط دیزل با بیواتانول حاصل از بقایای سیبزمینی و متیل استر حاصل از آفتاب‌گردان پرداختند و عملکرد و آلاینده‌های این سوخت‌ها را بر روی یک موتور دیزل دو سیلندر (Ruggerini- RD270) هوا-خنک، در سرعت‌های مختلف و بار کامل مورد بررسی قرار دادند. آنها به این نتیجه رسیدند که میزان گوگرد سوخت دیسترویل با افزایش اختلاط اکسیژن‌دار کاهش می‌یابد و توان و گشتاور تولیدی با استفاده از سوخت دیسترویل و دیزل خیلی نزدیک به هم بود. Al-Hassan و همکاران (۲۰۱۲) در تحقیقی که بر روی یک موتور دیزل- تک سیلندر- چهار زمانه و با اختلاط سوخت‌های دیزل- بیودیزل- اتانول (DBE) که حاوی ۵، ۱۰، ۱۵ و ۲۰ درصد حجمی اتانول و ۱۰ درصد ثابت بیودیزل انجام دادند به این نتیجه رسیدند که با افزایش میزان سرعت، توان ترمزی نیز افزایش یافت (برای تمام سوخت‌ها). در مقایسه با سوخت دیزل متداول، اختلاط شامل ۵ درصد اتانول (DBE₅) توان یکسانی را ایجاد کرد و برای درصدهای بالای اتانول (بالتر از ۵ درصد) توان موتور کاهش یافت. باوفا و همکاران (۲۰۱۴) عملکرد موتور تراکتور MF-399 را با استفاده از مخلوط‌های ۵ تا ۲۰ درصد بیودیزل و دیزل مورد آزمون و ارزیابی قرار دادند. آزمایش‌ها نشان داد که گشتاور و توان موتور مذکور توسط این ترکیبات افزایش می‌یابد و دلیل این موضوع به خاطر به سوزی بیودیزل در اثر اکسیژن‌دار بودن آن بود.

مواد و روش‌ها

بستر آزمون آزمایش‌ها

شکل ۱ مجموعه تجهیزات استفاده شده در آزمایش کوتاه مدت



شکل ۱- بستر آزمون موتور
Fig. 1. Engine test cell



شکل ۳- دینامومتر مورد استفاده در بستر آزمون موتور
Fig. 3. Dynamometer used to test the engine



شکل ۲- موتور مورد آزمایش OM 314
Fig. 2. Tested engine OM 314

موتور ارائه شده است. تعداد آزمایش‌ها برای هر یک از روش‌ها از معادله (۲) به دست می‌آید.

$$n = 2^k + (2 \times k) + n_0 \quad (2)$$

که در آن n_0 تعداد تکرار در نقطه مرکزی و k تعداد متغیرهای مستقل می‌باشد.

معادله مدلی که از طرح مورد اجرا به دست خواهد آمد برای هر یک از پاسخ‌ها به شکل زیر است (Castillo, 2007):

$$y = a_0 + \sum_{i=1}^4 a_i x_i + \sum_{i=1}^4 \sum_{j=i}^4 a_{ij} x_i x_j \quad (3)$$

که در آن y پاسخ پیش‌بینی شده (توان ترمزی موتور و گشتاور)، x_i و x_j متغیرهای مستقل کد شده، a_0 ، a_i و a_{ij} ضرایب مدل می‌باشند. پیش‌بینی معادلات مربوط روش سطح پاسخ با استفاده از روش حداقل مربعات حل می‌شود. این روش یک روش رگرسیونی چندگانه است.

طرح مرکب مرکزی با انتخاب صحیح پارامتر α (سطح فاکتور) برای نقاط محوری، دوران‌پذیر شده و در آن برای هر متغیر پنج سطح تعیین می‌شود. در واقع سطوح مشخص شده به صورت بازده (α) تا $(-\alpha)$ تعریف می‌شوند که در آن حدود کمینه و بیشینه با کد سطح‌های (۱) و (-1) مشخص شده و سطح پنجم نیز به عنوان سطح مرکزی یا صفر (۰) در نظر گرفته می‌شود.

متغیرهای مستقل در این تحقیق عبارتند از نسبت‌های مختلف سوخت‌های اتانول، بیودیزل و دیزل، بار و سرعت موتور و پاسخ‌های مورد نظر نیز شامل توان و گشتاور موتور می‌باشد. بر اساس طرح مرکب مرکزی سطوح متغیرهای مستقل بر اساس مقادیر کد شده صفر، ± 1 انتخاب می‌شود. α برابر مجذور تعداد متغیرهای مستقل می‌باشد که در این تحقیق برابر ۲ می‌شود. در جدول ۱ متغیرهای مستقل به همراه سطوح کد شده و کد نشده برای آزمون

جدول ۱- کدگذاری سطوح متغیرهای مستقل در روش مورد مطالعه

Table 1- Coded levels of the independent variables in the study method

| متغیر مستقل Independent variables | سطوح کد شده متغیرها Variable levels | | | | |
|---|--|-------|-------|-------|-------|
| | -2 | -1 | 0 | 1 | 2 |
| نسبت بیودیزل به دیزل (لیتر) Biodiesel/diesel ratio (L) | 0:1 | 0.2:1 | 0.4:1 | 0.6:1 | 0.8:1 |
| نسبت اتانول به دیزل (لیتر) Ethanol/diesel ratio (L) | 0:1 | 0.1:1 | 0.2:1 | 0.3:1 | 0.4:1 |
| سرعت موتور (دور بر دقیقه) Engine speed (rpm) | 1000 | 1450 | 1900 | 2350 | 2800 |
| بار موتور (درصد) Engine load (%) | 20 | 40 | 60 | 80 | 100 |

نتایج و بحث

توان ترمزی موتور

تجزیه واریانس برای مدل ارائه شده توسط نرم‌افزار برای مشخصه توان ترمزی موتور به صورت جدول ۲ می‌باشد. مقادیر P-value برای مدل‌های کلی و پیش‌بینی هر دو کمتر از ۰/۰۱ می‌باشد و این نشان می‌دهد که این مدل‌ها از لحاظ آماری قابلیت پیش‌بینی تأثیرات متغیرهای مستقل را با خطای کمتر از یک درصد روی توان ترمزی دارند. مقادیر P-value برای عبارتهای مدل به تفکیک پارامترهای بیودیزل، اتانول، سرعت و بار موتور در این جدول ارائه شده است. عبارتهایی که مقدار P-value آنها کمتر از ۰/۰۵ باشد وارد مدل نمی‌شود. جدول ۲ نشان می‌دهد که فاکتورهای خطی اتانول، بیودیزل، سرعت و بار موتور تأثیر معنی‌داری در سطح یک درصد بر روی توان ترمزی داشتند و با توجه به ضرایب این عبارات، بیودیزل و اتانول بر روی توان ترمزی تأثیر منفی داشتند یعنی با افزایش مقادیر این دو متغیر توان ترمزی کاهش می‌یافت از طرف دیگر سرعت دورانی و بار موتور یک تأثیر مستقیم و هم‌جهت با توان ترمزی دارند به طوری که با افزایش هر یک از این متغیرها میزان توان ترمزی افزایش می‌یابد. تمام عبارتهای درجه دوم نیز وارد مدل شده‌اند. این نشان می‌دهد که این عبارتها قابلیت پیش‌بینی تأثیرات مرتبه دوم کلیه متغیرهای مستقل را روی توان ترمزی دارند به طوری که تمام جملات مرتبه دوم رابطه معکوس با توان ترمزی موتور دارند. از میان عبارتهای متقابل (ضریب بین دو متغیر) بین متغیرهای بیودیزل و اتانول، سرعت و بار رابطه معنی‌داری وجود دارد و وارد مدل پیش‌بینی می‌شوند. در حالی که بقیه عبارتها رابطه معنی‌داری با میزان توان ترمزی نداشته و وارد مدل نمی‌شوند. علامت مثبت برای ضرایب عبارتها یک تأثیر مستقیم و هم‌جهت و همچنین علامت منفی یک رابطه عکس را بین عبارت و توان ترمزی نشان می‌دهد.

مقادیر R^2 و R^2 تعدیل شده^۱ برای مدل پیش‌بینی به ترتیب ۹۸/۸۶٪ و ۹۷/۸۲٪ بود. مقدار بالای R^2 نشان می‌دهد که یک وابستگی و همبستگی بالایی بین مقادیر مشاهده شده و پیش‌بینی شده توان ترمزی وجود دارد. همچنین نشان می‌دهد که مدل ارائه شده می‌تواند ۹۸/۸۶٪ کل تغییرات توان ترمزی را در شرایط مورد آزمایش تشریح و پیش‌بینی کند. مدل به دست آمده بر اساس داده‌های کد نشده در رابطه (۴) نشان داده شده است که در آن P بیانگر توان ترمزی موتور بر حسب کیلو وات، B نشان‌دهنده نسبت حجمی بیودیزل در مخلوط سوخت، E بیانگر نسبت حجمی اتانول در مخلوط سوخت، S سرعت موتور بر حسب دور در دقیقه و L بار موتور بر حسب درصد می‌باشد. علامت مثبت ضرایب نشان می‌دهد که عبارت مربوطه یک تأثیر هم‌جهت بر توان ترمزی موتور داشته است و علامت منفی نشان‌دهنده یک تأثیر معکوس بر توان ترمزی موتور را بازگو می‌کند. مقدار ثابت مدل پیش‌بینی بر اساس طرح کد شده برابر ۳۹/۴۹۳۵۳ برای توان ترمزی موتور می‌باشد.

تأثیر ترکیب بیودیزل و اتانول بر روی توان ترمزی

با توجه به شکل ۴ با افزایش میزان بیودیزل، توان ترمزی نسبت به سوخت گازوییل کاهش پیدا می‌کند. علت این امر به دو عامل مربوط می‌شود اول اینکه با افزایش درصد بیودیزل در سوخت ترکیبی به دلیل پایین بودن ارزش گرمایی بیودیزل نسبت به سوخت دیزل، ارزش گرمایی سوخت اختلاطی کاهش پیدا می‌کند از طرف دیگر به دلیل بالا بودن ویسکوزیته بیودیزل نسبت به دیزل با افزایش میزان این سوخت در ترکیب این ویژگی تقویت شده و اتمیزه شدن سوخت در هنگام پاشش با مشکل مواجه خواهد شد. به طور کلی برآیند این دو عامل مانع از ایجاد احتراقی مناسب و مطلوب گشته و توان ترمزی تا حدودی کاهش می‌یابد (Utlu *et al.*, 2008; Carraretto *et al.*).

1- Adjusted R^2

$$P = -35.327 - 0.702336B - 2.991589E + 0.034666S + 0.316142L - 3.108694B^2 + 6.419687BE - 11.18478E^2 - 9.079S \times 10^{-6} + 0.000262SL - 0.00161L^2 \quad (4)$$

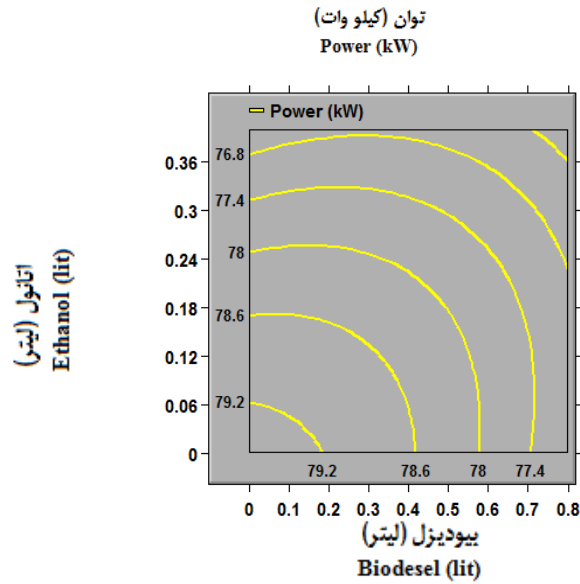
جدول ۲- تجزیه واریانس مدل‌های کلی و پیش‌بینی توان ترمزی موتور

Table 2- Analysis of variance the total and predictive models of Brake power engine

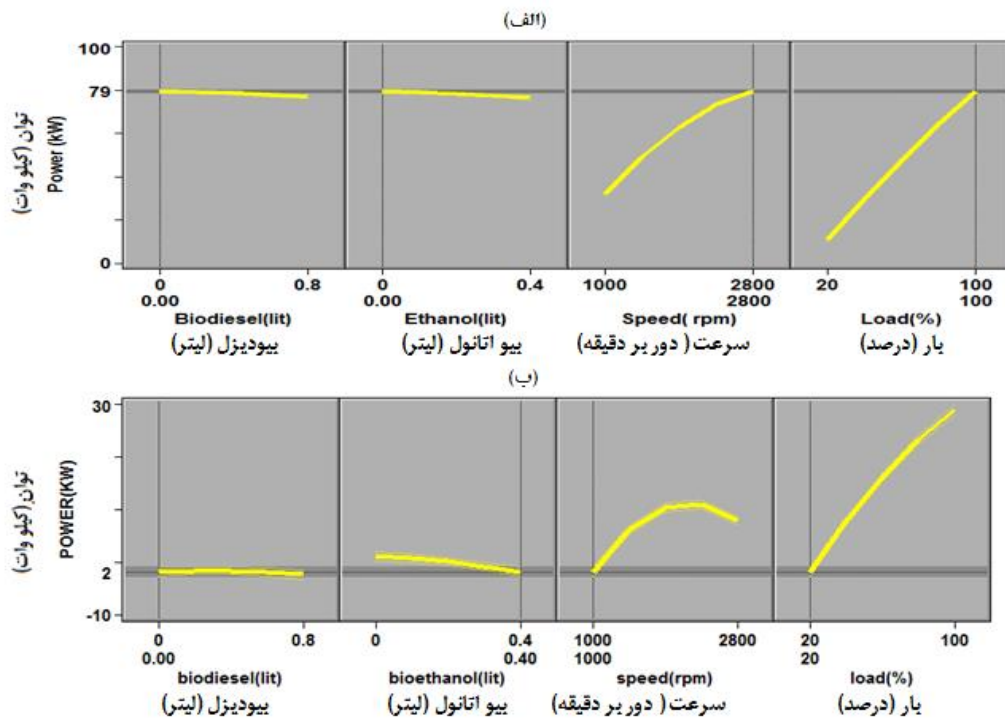
| منبع (Source) | درجه آزادی (DF) | ضریب (Estimate) | مجموع مربعات (SS) | F | P-value |
|---|-----------------|-----------------|-------------------|-----------|----------|
| مدل کلی (Master model) | 14 | - | 5127.795 | 7897.321 | - |
| بیودیزل (Biodiesel) | 1 | -0.76214 | 3.48516 | 75.14496 | 0.0001 |
| اتانول (Ethanol) | 1 | -0.97952 | 5.756815 | 124.1251 | 0.0001 |
| سرعت دورانی (Speed) | 1 | 14.29639 | 1226.321 | 26441.21 | 0.0001 |
| بار (Load) | 1 | 24.83144 | 3699.603 | 79768.66 | 0.0001 |
| بیودیزل × بیودیزل (Biodiesel × Biodiesel) | 1 | -0.49739 | 0.442158 | 9.533549 | 0.00706 |
| بیودیزل × اتانول (Biodiesel × Ethanol) | 1 | 0.513575 | 0.263759 | 5.687022 | 0.02981 |
| بیودیزل × سرعت (Biodiesel × Speed) | 1 | 0.236425 | 0.055897 | 1.205214 | 0.9583 |
| بیودیزل × بار (Biodiesel × Load) | 1 | 0.03642 | 0.001327 | 0.028607 | 0.2424 |
| اتانول × اتانول (Ethanol × Ethanol) | 1 | -0.44739 | 0.357731 | 7.713176 | 0.013458 |
| اتانول × سرعت (Ethanol × Speed) | 1 | -0.01143 | 0.000131 | 0.002814 | 0.9583 |
| اتانول × بار (Ethanol × Load) | 1 | 0.261425 | 0.068343 | 1.473572 | 0.2424 |
| سرعت × سرعت (Speed × Speed) | 1 | -7.35439 | 96.66625 | 2084.261 | 0.0001 |
| سرعت × بار (Speed × Load) | 1 | 9.432675 | 88.97536 | 1918.434 | 0.0001 |
| بار × بار (Load × Load) | 1 | -2.57589 | 11.85868 | 255.6899 | 0.0001 |
| مدل پیش‌بینی (Predictive model) | 10 | - | 5127.669 | 11818.444 | 0.0001 |
| اشتباه (Error) | 20 | - | 0.867764 | - | - |
| عدم تناسب (Lack of fit) | 14 | - | 0.675478 | 1.505523 | 0.320152 |
| اشتباه خالص (Pure Error) | 6 | - | 0.192286 | - | - |
| کل (Total) | 30 | - | 5128.537 | - | - |

اتانول نسبت سوخت دیزل ربط داشته باشد (Rahimi et al., 2009; Al-Hassan et al., 2012; Can et al., 2004). به‌طور کلی می‌توان نتیجه گرفت که درصد‌های پایین بیودیزل و اتانول تقریباً توانی برابر با سوخت دیزل دارند و این ممکن است به‌خاطر بهبود شرایط احتراق به‌واسطه مولکول‌های اکسیژن‌دار بیودیزل و اتانول باشد و پایینی عدد ستان اتانول تا حدودی به‌خاطر بالا بودن عدد ستان بیودیزل بهبود می‌یابد اما به‌تدریج با افزایش غلظت این دو نوع سوخت در سوخت اختلاط یافته، ارزش گرمایی پایین بیودیزل و اتانول و همچنین عددستان پایین اتانول و چگالی بالای بیودیزل بر مشخصه مفید این دو نوع سوخت یعنی بالا بودن میزان اکسیژن سوخت غلبه کرده و شرایط را برای کاهش توان فراهم می‌آورد.

با افزایش میزان اتانول در سوخت ترکیبی نیز میزان توان ترمزی در تمام شرایط کاری موتور کاهش پیدا می‌کند. با افزایش میزان غلظت اتانول به دلیل پایین بودن عدد ستان اتانول، عدد ستان سوخت اختلاط یافته نیز کاهش پیدا می‌کند در نتیجه دمای احتراق و گرمای نهان تبخیر سوخت ترکیبی افزایش می‌یابد (گرمای نهان تبخیر اتانول بالاتر از دیزل و بیودیزل می‌باشد) بنابراین موجب تأخیر در اشتعال می‌گردد و فرآیند احتراق ممکن است به داخل مرحله انبساط کشیده شود و سوخت به‌طور کامل سوزانده نمی‌شود همچنین مقداری از انرژی سوخت صرف تبخیر سوختی با گرمای نهان تبخیر بالا می‌گردد بنابراین توان موتور کاهش می‌یابد. دلیل دیگر کاهش توان می‌تواند به کاهش ارزش گرمایی اختلاط به دلیل پایین بودن ارزش گرمایی



شکل ۴- نقشه تراز تأثیر متغیرهای نسبت حجمی بیودیزل و اتانول بر روی توان ترمزی در سرعت ۱۸۰۰ (rpm) و بار کامل
Fig. 4. Contour plots of the effects of volume ratio of biodiesel and ethanol on brake power in full load and 2800 rpm



شکل ۵- بهینه‌سازی متغیرهای مستقل به منظور حداکثر (الف) و حداقل (ب) نمودن توان ترمزی و رابطه این متغیرها با توان ترمزی
Fig. 5. The optimum points of experimental variables to (a) maximize the specific fuel consumption and (b) minimize the brake power of engine

پیش‌بینی این مشخصه از لحاظ آماری معنی‌دار بوده و قابلیت برآورد تأثیرات متغیرهای مستقل را روی گشتاور ترمزی موتور با خطای کمتر از ۰/۰۵ دارند. همانطور که در این جدول مشاهده می‌شود کلیه ضرایب عبارت‌های خطی با سطح معنی‌داری بسیار بالایی وارد مدل پیش‌بینی شده به طوری که به جز بار اعمالی به موتور که رابطه مستقیم با گشتاور ترمزی دارد بقیه جملات مرتبه اول رابطه معکوس با این مشخصه دارند. کلیه جملات درجه دوم نیز با P-value کمتر از ۰/۰۵ از لحاظ آماری قابلیت ورود به مدل پیش‌بینی گشتاور ترمزی را دارند. کلیه این جملات اثر معکوس بر روی گشتاور موتور دارند. از میان جملات اثر متقابل تنها بین جملات بیودیزل × اتانول و سرعت × بار از لحاظ آماری رابطه معنی‌داری وجود دارد بنابر این وارد مدل پیش‌بینی می‌شوند. P-value بقیه جملات بزرگتر از ۰/۰۵ می‌باشد بنابراین از لحاظ آماری اعتبار لازم را برای ورود به مدل پیش‌بینی ندارند.

بهینه‌سازی توان ترمزی موتور برای پارامترهای میزان بیودیزل، اتانول، سرعت و بار

با توجه به شکل ۵ بیشترین میزان توان ترمزی (۷۹ کیلو وات) در بار کامل (۱۰۰ درصد) و سرعت ۲۸۰۰ دور بر دقیقه و برای سوخت دیزل خالص (D₁₀₀B₀E₀) اتفاق افتاد. همچنین کمترین میزان توان ترمزی در سوخت اختلاط یافته ۰/۴ لیتر اتانول در یک لیتر سوخت دیزل (D₇₂B₀E₂₈) و بار اعمالی ۲۰ درصد و سرعت دورانی ۱۰۰۰ دور بر دقیقه و به میزان دو کیلو وات به دست آمد. همان‌طور که در شکل ۵ مشاهده می‌شود از بین متغیرهای مستقل مشخصه‌های بار و سرعت بیشترین میزان تأثیر را بر روی توان ترمزی موتور دارند و تأثیر نوع سوخت بر روی توان ترمزی نسبت به دو متغیر بار و سرعت موتور کمتر می‌باشد.

گشتاور ترمزی موتور

همانطور که در جدول ۳ مشاهده می‌شود مدل‌های کلی و

جدول ۳- تجزیه واریانس برای مدل‌های پیش‌بینی شده و کلی گشتاور موتور

Table 3- Analysis of variance the total and predictive models of Torque

| منبع (Source) | درجه آزادی (DF) | ضریب (Estimate) | مجموع مربعات (SS) | F | P-value |
|---|-----------------|-----------------|-------------------|----------|---------|
| مدل کلی (Master model) | 14 | - | 100208 | 2608.388 | 0.0001 |
| بیودیزل (Biodiesel) | 1 | -3.625 | 78.84375 | 28.73085 | 0.0001 |
| اتانول (Ethanol) | 1 | -5.125 | 157.5937 | 57.42755 | 0.0001 |
| سرعت دورانی (Speed) | 1 | -13.375 | 1073.344 | 391.1291 | 0.0001 |
| بار (Load) | 1 | 126.725 | 96355.35 | 35112.13 | 0.0001 |
| بیودیزل × بیودیزل (Biodiesel × Biodiesel) | 1 | -2.7875 | 13.88709 | 5.060489 | 0.0389 |
| بیودیزل × اتانول (Biodiesel × Ethanol) | 1 | 3.675 | 13.50563 | 4.921483 | 0.0413 |
| بیودیزل × سرعت (Biodiesel × Speed) | 1 | 2.875 | 8.265625 | 3.012014 | 0.1019 |
| بیودیزل × بار (Biodiesel × Load) | 1 | -0.025 | 0.000625 | 0.000228 | 0.9881 |
| اتانول × اتانول (Ethanol × Ethanol) | 1 | -3.0375 | 16.48975 | 6.008904 | 0.0261 |
| اتانول × سرعت (Ethanol × Speed) | 1 | 3.125 | 9.765625 | 3.558618 | 0.0775 |
| اتانول × بار (Ethanol × Load) | 1 | 0.925 | 0.855625 | 0.311792 | 0.5843 |
| سرعت × سرعت (Speed × Speed) | 1 | -35.2875 | 2225.478 | 810.9694 | 0.0001 |
| سرعت × بار (Speed × Load) | 1 | -12.975 | 168.3506 | 61.34738 | 0.0001 |
| بار × بار (Load × Load) | 1 | -11.4875 | 235.8482 | 85.94314 | 0.0001 |
| مدل پیش‌بینی (Predictive model) | 10 | - | 100189.1 | 3190.989 | 0.0001 |
| اشتباه (Error) | 20 | - | 62.795 | - | - |
| عدم تناسب (Lack of fit) | 14 | - | 58.795 | 6.299464 | 0.0162 |
| اشتباه خالص (Pure Error) | 6 | - | 4 | - | - |
| کل (Total) | 30 | - | 100251.9 | - | - |

پیش‌بینی قادر است ۹۹/۹۴٪ کل تغییرات گشتاور ترمزی را در شرایط مورد آزمایش تشریح و پیش‌بینی کند. مدل به‌دست آمده بر اساس داده‌های کد نشده عبارت است از:

$$T = -181.363 - 4.319333B - 13.62935E + 0.172246S + 4.714634L - 17.43938B^2 + 45.93932BE - 76.01982E^2 - 0.000044S^2 - 0.00036SL - 0.007192L^2 \quad (5)$$

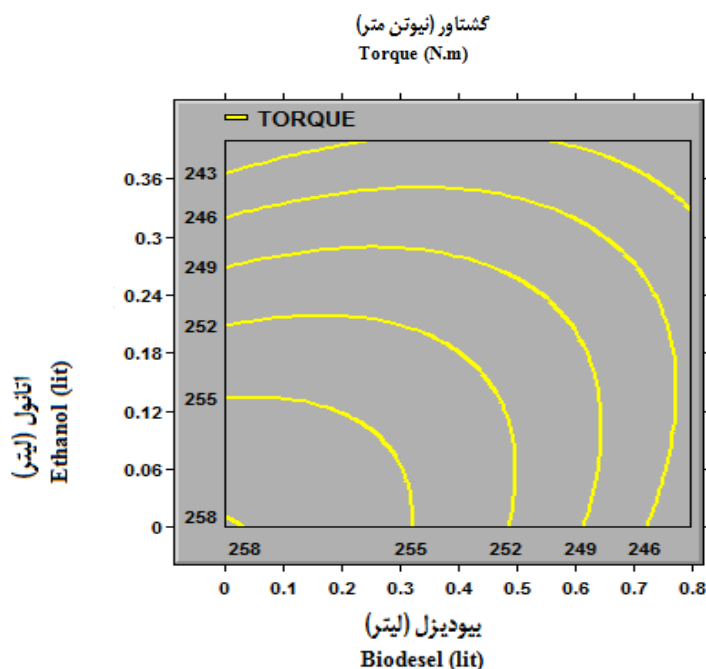
می‌گردد نیز می‌تواند موجب کاهش گشتاور گردد (Utlu and Kocak, 2008; Ozsezen and Canakci, 2009). همچنین با افزایش غلظت اتانول در سوخت ترکیبی گشتاور ترمزی موتور کاهش می‌یابد علت این کاهش علاوه بر پایین بودن ارزش گرمایی اتانول نسبت به سوخت دیزل به پایین بودن عدد ستان و گرمای نهان تبخیر بالای اتانول ممکن است مربوط باشد چراکه مقدار از انرژی سوخت صرف تبخیر اتانول گشته و به دلیل تأخیر در اشتعال احتراق بازده احتراق کاهش می‌یابد (Rahimi et al., 2009). پس به‌طور کلی افزایش میزان سوخت‌های اکسیژن‌دار بیودیزل و اتانول باعث کاهش گشتاور گشته که بیواتانول در این بین سهم بیشتری را به‌خود اختصاص داده است.

مقادیر R^2 و R^2 تعدیل شده برای مدل پیش‌بینی به‌ترتیب ۹۹/۹۴ و ۹۹/۹۱ می‌باشد که نشان می‌دهد یک همبستگی بسیار بالایی بین مقادیر تجربی و پیش‌بینی گشتاور ترمزی وجود دارد به‌طوری‌که مدل

که در آن T بیانگر گشتاور ترمزی موتور بر حسب نیوتن‌متر (N.m)، B نشان‌دهنده نسبت حجمی بیودیزل در مخلوط سوخت، E بیانگر نسبت حجمی اتانول در مخلوط سوخت، S سرعت موتور بر حسب دور در دقیقه و L بار موتور بر حسب درصد می‌باشد. مقدار ضریب ثابت مدل کد شده برابر با ۱۹۸ می‌باشد.

تأثیر غلظت بیودیزل و اتانول بر روی گشتاور ترمزی

با توجه به شکل ۶ با افزایش درصد حجمی بیودیزل در سوخت ترکیبی گشتاور ترمزی موتور نسبت به سوخت دیزل در تمام شرایط کاری موتور کاهش می‌یابد. علت این کاهش پایین بودن ارزش گرمایی بیودیزل نسبت به سوخت دیزل می‌باشد از طرف دیگر چگالی و گرانشی بالای سوخت بیودیزل که مانع از ریزسازی مطلوب سوخت



شکل ۶- نقشه تراز تأثیر متغیرهای نسبت حجمی بیودیزل و اتانول بر روی توان ترمزی در سرعت ۱۸۰۰ (rpm) و بار کامل

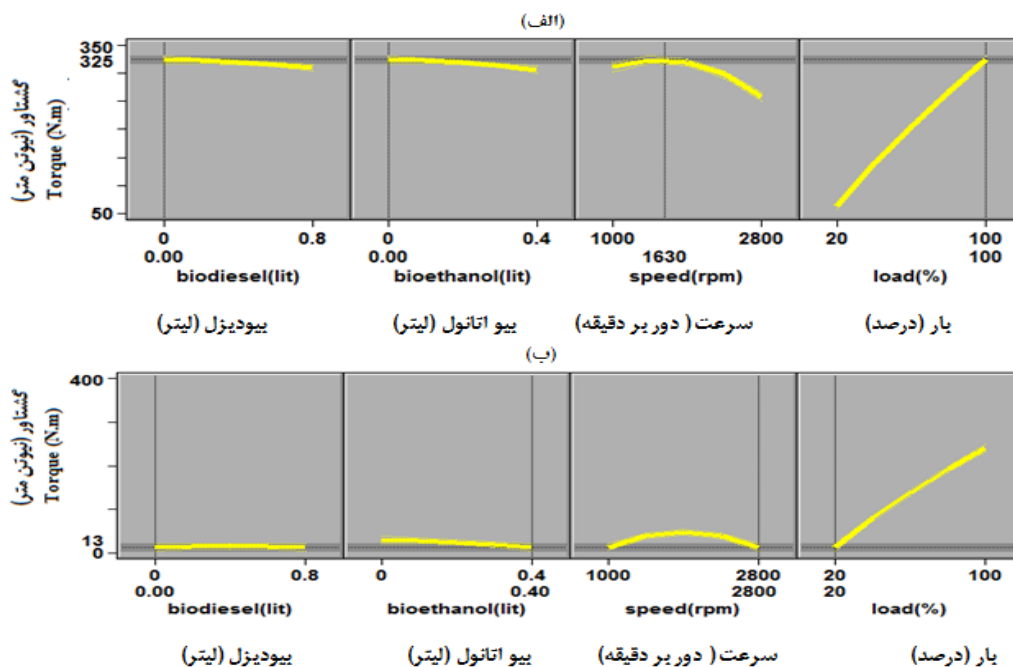
Fig. 6. Contour plots of the effects of volume ratio of biodiesel and ethanol on torque in full load and 2800 rpm

به‌طور کلی می‌توان نتیجه گرفت که درصد‌های پایین بیودیزل و اتانول تقریباً توانی برابر با سوخت دیزل دارند و این ممکن است به‌خاطر بهبود شرایط احتراق به‌واسطه مولکول‌های اکسیژن‌دار بیودیزل و اتانول باشد و پایینی عدد ستان اتانول تا حدودی به‌خاطر بالا بودن عدد ستان بیودیزل بهبود می‌یابد، اما به‌تدریج با افزایش غلظت این دو نوع سوخت در سوخت اختلاط یافته، ارزش گرمایی پایین بیودیزل و اتانول و همچنین عدد ستان پایین اتانول و چگالی بالای بیودیزل بر مشخصه مفید این دو نوع سوخت یعنی بالا بودن میزان اکسیژن سوخت غلبه کرده و شرایط را برای کاهش توان فراهم می‌آورد.

بهینه‌سازی گشتاور موتور برای پارامترهای میزان

بیودیزل، اتانول، سرعت و بار

با توجه به شکل ۷ بیشترین میزان گشتاور ۳۲۵ نیوتن‌متر به‌دست آمد که برای سوخت دیزل خالص ($D_{100}B_0E_0$) و در سرعت ۱۶۳۰ دور بر دقیقه کامل (۱۰۰ درصد) اتفاق افتاد. همچنین کمترین میزان توان ترمزی به میزان ۳ نیوتن‌متر در ترکیب سوختی اختلاط یافته ۰/۴ لیتر اتانول در یک لیتر سوخت دیزل ($D_{72}B_0E_{28}$) و بار اعمالی ۲۰ درصد و سرعت دورانی ۱۰۰۰ دور بر دقیقه به‌دست آمد. همان‌طور که در شکل ۷ مشاهده می‌شود از بین متغیرهای مستقل مشخصه‌های بار و میزان اتانول در سوخت ترکیبی بیشترین میزان تأثیر را بر روی گشتاور موتور دارند.



شکل ۷- بهینه‌سازی متغیرهای مستقل به‌منظور حداکثر (الف) و حداقل (ب) نمودن گشتاور موتور و رابطه این متغیرها با گشتاور

Fig. 7. The optimum points of experimental variables to (a) maximize the specific fuel consumption and (b) minimize the torque of engine

بیودیزل و اتانول در سوخت اختلاط یافته به خوبی توانستند تغییرات متغیرهای وابسته (سطوح پاسخ) را پیش‌بینی کنند.

با افزایش میزان درصد بیودیزل و اتانول توان ترمزی موتور نسبت به سوخت دیزل کاهش پیدا کرد و بیشترین میزان توان ترمزی به میزان ۸۱ کیلو وات، برای سوخت دیزل خالص در بار کامل (۱۰۰ درصد) و سرعت ۲۸۰۰ دور بر دقیقه به‌دست آمد.

سوخت دیزل خالص ($D_{100}B_0E_0$) در سرعت ۱۶۳۰ دور بر دقیقه و بار اعمالی ۱۰۰ درصد بیشترین میزان گشتاور (۳۲۵ نیوتن‌متر) را به‌خود اختصاص داد.

نتیجه‌گیری

در این تحقیق به بررسی امکان استفاده از اختلاط مختلف سوخت‌های دیزل-بیودیزل-اتانول در موتور دیزل پرداخته شد و تأثیر بار و سرعت موتور و همچنین نسبت‌های حجمی مختلف اختلاط سوخت‌های دیزل، بیودیزل و اتانول بر روی مشخصه‌های عملکردی موتور مورد بررسی قرار گرفت و نتایج ذیل به‌دست آمد؛

مدل‌های درجه دوم پیش‌بینی، برای تمام مشخصه‌های عملکردی (توان و گشتاور) در سطح یک درصد معنی‌دار شناخته شد، به‌طوری که متغیرهای مستقل بار، سرعت موتور و نسبت‌های حجمی مختلف

References

1. Al-Hassana, M., H. Mujafet, and M. Al-Shannagb. 2012. An Experimental Study on the Solubility of a Diesel-Ethanol Blend and on the Performance of a Diesel Engine Fueled with Diesel- Biodiesel - Ethanol Blends. *Jordan Journal of Mechanical and Industrial Engineering* 6: 147-153.
2. Bavafa, M., M. Tabasizadeh, A. Farzad, B. Ghobadian, and H. Eshghi. 2014. Effect of poultry fat oil biodiesel on tractor engine performance. *Journal of Agricultural Machinery* 6 (1): 14-24. (In Farsi).
3. Bettis, B. L., C. O. Peterson, D. L. Auld, D. J. Driscoll, and E. D. Peterson. 1982. Fuel characteristics of vegetable oil from oil seed crops in the Pacific Northwest. *Agronomy of Journal* 74: 335-9.
4. Can, O., I. Celikten, and N. Usta. 2004. Effects of ethanol addition on performance and emission characteristics of a turbocharged indirect injection diesel engine running at different injection pressures. *Energy Conversion and Manage* 45: 29-2440.
5. Canakci, M., A. N. Ozsezen, E. Arcaklioglu, and A. Erdil. 2009. Prediction of performance and exhaust emissions of a diesel engine fueled with biodiesel produced from waste frying palm oil. *Expert Systems with Applications* 36: 9268-80.
6. Carraretto, C., A. Macor, A. Mirandola, A. Stoppato, and S. Tonon. 2004. Biodiesel as alternative fuel: experimental analysis and energetic evaluations. *Energy* 29: 2195-211.
7. Castillo, E. D. 2007. *PROCESS OPTIMIZATION: A Statistical Approach*. New York: Springer.
8. Fatimah Abdul Halim, S., A. H. Kamaruddin, and W. J. N. Fernando. 2009. Continuous biosynthesis of biodiesel from waste cooking palm oil in a packed bed reactor: Optimization using response surface methodology (RSM) and mass transfer studies. *Bioresource Technology* 100: 710-6.
9. Hansen, A. C., and Q. Zhang. 2003. "Engine durability evaluation with E-diesel". Paper Number: 036033. In: An ASAE meeting presentation, Las Vegas, Nevada, USA, 27-30 July 2003 p. 13.
10. Kapilan, N., T. P. Ashok Babu, and R. P. Reddy. 2009. Technical aspects of biodiesel and its oxidation stability. *International Journal of ChemTech Research CODEN (USA) IJCRGG* 1 (2): 278-82.
11. Kaplan, C., R. Arslan, and A. Surmen. 2006. Performance characteristics of sunflowermethyl sters as biodiesel. *Energy Source Part A*, 28: 751-5.
12. Kass, M. D., J. F. Thomas, J. M. Storey, N. Domingo, J. Wade, and G. Kenreck. 2001. Emissions from a 5.9 liter diesel engine fueled with ethanol diesel blends. *SAE Technical Paper*, 01: 2018 (SP-1632).
13. Lapuerta, M., O. Armas, and R. Garcya-Gontreras. 2007. Stability of diesel-bioethanol blends for use in diesel engines. *Fuel* 86: 1351-1357.
14. Ozsezen, A. N., and M. Canakci. 2010. The emission analysis of an IDI diesel engine fueled with methyl ester of waste frying palm oil and its blends. *Biomass and Bioenergy* 34: 1870-1878.
15. Pang, X., Y. Mu, J. Yuan, and H. He. 2008. Carbonyl emission from ethanol-blended gasoline and biodiesel-ethanol-diesel used in engines. *Atmospheric Environ-* ment, 42: 1349-1358.
16. Pereira, P. A., E. T. S. Santos, T. F. Ferreira, and de J. B. Andrade. 1999. Determination of methanol and ethanol by gas chromatography following air sampling onto florasil cartridges and their concentrations at urban sites in the three largest cities in Brazil. *Talanta* 49: 245-252.
17. Rahimi, H., B. Ghobadian, T. Yusaf, Gh. Najafi, and M. Khatamifar. 2009. An environment-friendly IC engine fuel. *Renewable Energy* 34: 335-342.
18. Shi, X., Y. Yu, H. He, S. Shuai, J. Wang, and R. Li. 2005. Emission characteristics using methyl soyate-ethanol-diesel fuel blends on a diesel engine. *Fuel* 84: 1543-1549.
19. Usta, N. 2005. An experimental study on performance and exhaust emissions of a diesel engine fuelled with tobacco seed oil methyl ester. *Energy Conversion and Management* 46: 2373-86.
20. Utlu, Z., and M. S. Kocak. 2008. The effect of biodiesel fuel obtained from waste frying oil on direct injection diesel engine performance and exhaust emissions. *Renewable Energy* 33: 1936-41.
21. Zenouzi, A., B. Ghobadian, T. Tavakoli Hashjin, M. Feyzolahnejad, and H. Bagherpour. 2008. The effect of blending diesel and biodiesel from waste oils in engine performance compression ignition (CI). *Journal of Combustion* 1: 44-37.

Optimization Performance Indices of Diesterol Fuel in Diesel Engine by Response Surface Methodology

G. Khoobbakht^{1*}

Received: 05-02-2017

Accepted: 06-06-2017

Introduction

Diesterol is a new specific term which denotes a mixture of fossil diesel fuel (D), vegetable oil methyl ester called biodiesel (B) and plant derived ethanol (E). Recently, much attention has been paid to the development of alternative fuels in order to meet the emission standards and to reduce the dependency on fossil fuel. Biodiesel and ethanol have been considered as major alternative fuels, as they are derived from renewable sources. These fuels are well oxygenated and therefore have a great potential to reduce emissions. Biodiesel is an oxygenated diesel fuel made from vegetable and animal fats by conversion of the triglyceride fats into esters via transesterification.

Materials and Methods

The engine test bed consisted of a diesel engine, a dynamometer, a gas analyzer and a fuel tank. The control bench also consisted of control units, data logger and a PC. Engine was loaded by a ferromagnetism dynamometer of 400 kW capacity and load was measured with spring balance. The experiments were designed using a statistical tool known as Design of Experiments (DoE) based on central composite rotatable design (CCRD) of response surface methodology (RSM) and the optimum points were found using RSM. Four experimental variables in the present study including the operating parameters, load and speed and the added volume of biodiesel and ethanol in one liter of diesel fuel were considered to be effective factors on the brake power and torque. Designs that can fit as a model must have at least three different levels in each variable. This is satisfied by central composite rotatable designs (CCRD), which have five levels per variable. The most successful and best among the designs is the central composite design which is accomplished by adding two experimental points along each coordinate axis at opposite sides of the origin and at a distance equal to the semi diagonal of the hyper cube of the factorial design and new extreme values (low and high) for each factor added in this design. In the present work, the response surface methodology based on desirability approach is used for the optimization of experiment parameters (load, speed, biodiesel and ethanol volume) for the measured properties of response (brake power and torque). The optimization analysis was carried out using SAS 9.2 software, where each response is transformed into a dimensionless desirability value (d) and it ranges between $d = 0$, which suggests that the response is completely unacceptable, and $d = 1$, which suggests that the response is more desirable.

Results and Discussion

The resultant quadratic models of the response surface methodology were helpful to predict the response parameters including the performance characteristics of engine and further to identify the significant interactions between the input factors on the responses. By increasing the amount of biodiesel, the brake power is reduced compared to diesel fuel. This is due to two factors: the first is concerned with the percentage of biodiesel in the fuel mix because of the low calorific value of biodiesel compared to diesel fuel, calorific value fuel mixture is reduced. On the other hand, due to the high viscosity of biodiesel than diesel fuel combined with an increase in these enhanced features and fuel atomization when spraying will be difficult. It is generally desirable outcome of these two factors have prevented the ignition and brake power somewhat reduced. Increasing the volume percent biodiesel fuel mixture to the engine braking torque is reduced diesel fuel engines in all working conditions. The reason for this decline is the low calorific value of biodiesel compared to diesel fuel. Also, by increasing the concentration of ethanol in the fuel mix engine braking torque is reduced. The reason for this decline in addition

1- Assistant Professor, Department of Agricultural Engineering, Payame Noor University, Tehran, Iran
(*- Corresponding Author Email: gol.ml360@yahoo.com)

to the low calorific value of ethanol compared to diesel fuel may be related to cetane number and low latent heat of vaporization of ethanol.

Conclusions

The results depicted that low percentages of biodiesel and bioethanol into synthetic fuel also somewhat have same power and torque but increasing biodiesel and ethanol contents into synthetic fuel reduced power and torque. The maximum brake power (79 kW) occurred for the pure diesel fuel (equivalent to D100B0E0) at 2800 rpm and full load (100%) and the most brake power (325 N.m) occurred for the pure diesel fuel (equivalent to D100B0E0) at 1630 rpm and full load (100%).

Keywords: Biodiesel, Ethanol, Power, Torque, Response surface